



MASTER PARISIEN DE RECHERCHE EN INFORMATIQUE

Cryptanalyse par canaux auxiliaires : attaques et contre-mesures

Mélissa ROSSI DABI

Septembre 2016

Encadrants: Sonia BELAÏD et Renaud DUBOIS

Responsable Pédagogique: Pierre SENELLART

Rapporteur: Damien VERGNAUD

Théorie des attaques par canaux auxiliaires

Attaques de différentes implémentations d'AES

- Attaque d'un AES non sécurisé

- Une protection : le masquage

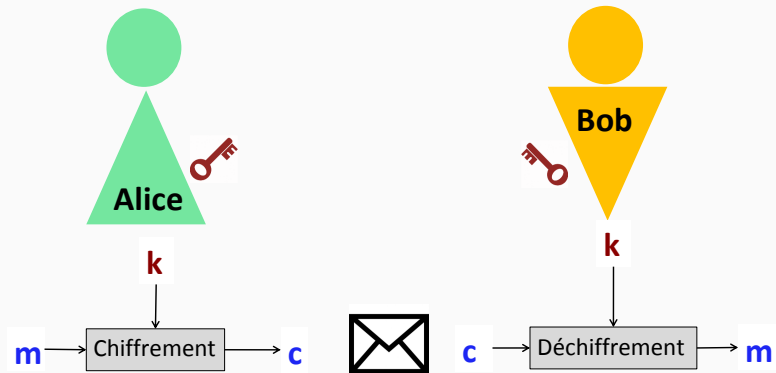
- Attaque du DPA Contest V4.2

Amélioration de la protection d'une implémentation d'AES

- Proposition

- Evaluation du schéma proposé

THÉORIE DES ATTAQUES PAR CANAUX AUXILIAIRES

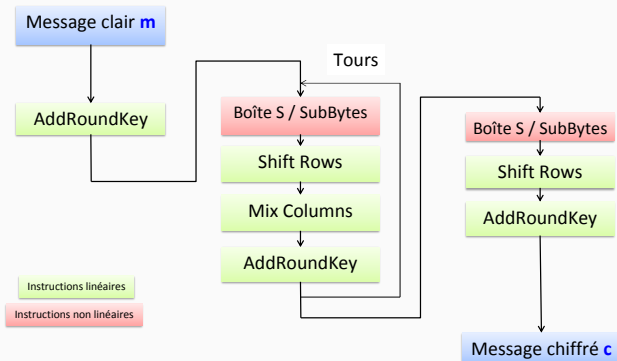


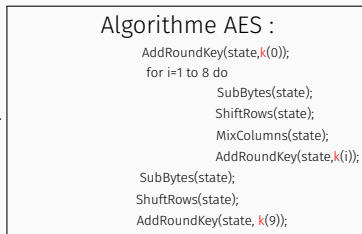
Confidentialité

Algorithme AES :

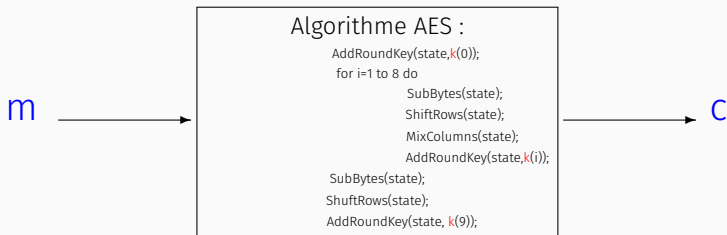
```

AddRoundKey(state,k(0));
for i=1 to 8 do
    SubBytes(state);
    ShiftRows(state);
    MixColumns(state);
    AddRoundKey(state,k(i));
SubBytes(state);
ShiftRows(state);
AddRoundKey(state, k(9));
    
```



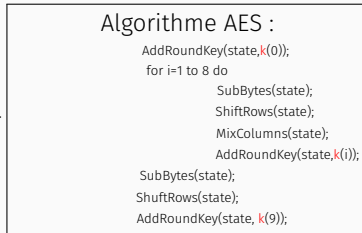
Cryptanalyse boîte noire : $(m, c) \rightarrow k$ m  C

Cryptanalyse par canaux auxiliaires : $(m, c, \text{mesures physiques}) \rightarrow k$

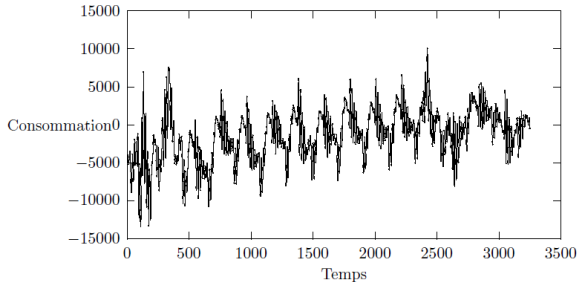


Cryptanalyse par canaux auxiliaires : ($m, c, \text{mesures physiques}$) $\rightarrow k$

m



C



ATTAQUE DPA (DIFFERENTIAL POWER ANALYSIS)

Cible de l'attaque : K fragment de la clé secrète (Diviser pour régner)

$$\text{Modèle } \forall M \in [1, N] : W_M(t) = f(X_{M,K})$$

Algorithme AES :

```
AddRoundKey(state,k(0));  
for i=1 to 8 do  
    SubBytes(state);  
    ShiftRows(state);  
    MixColumns(state);  
    AddRoundKey(state,k(i));  
SubBytes(state);  
ShuftRows(state);  
AddRoundKey(state, k(9));
```

ATTAQUE DPA (DIFFERENTIAL POWER ANALYSIS)

Cible de l'attaque : K fragment de la clé secrète (Diviser pour régner)

$$\text{Modèle } \forall M \in [1, N] : W_M(t) = f(X_{M,K})$$

Algorithme AES :

```
AddRoundKey(state,k(0));  
for i=1 to 8 do  
    SubBytes(state);  
    ShiftRows(state);  
    MixColumns(state);  
    AddRoundKey(state,k(i));  
SubBytes(state);  
ShuftRows(state);  
AddRoundKey(state, k(9));
```

Exemple de modèle :

$$W_M(t) \begin{cases} \geq 0 & \text{si } S[M \oplus K] \bmod 2 = 0 \\ \leq 0 & \text{si } S[M \oplus K] \bmod 2 = 1 \end{cases}$$

ATTAQUE DPA (DIFFERENTIAL POWER ANALYSIS)

Cible de l'attaque : K fragment de la clé secrète (Diviser pour régner)

$$\text{Modèle } \forall M \in [1, N] : W_M(t) = f(X_{M,K})$$

Algorithme AES :

Instant
attaqué

```
AddRoundKey(state, k(0));  
for i=1 to 8 do  
    → SubBytes(state);  
    ShiftRows(state);  
    MixColumns(state);  
    AddRoundKey(state, k(i));  
SubBytes(state);  
ShuftRows(state);  
AddRoundKey(state, k(9));
```

Exemple de modèle :

$$W_M(t) \begin{cases} \geq 0 & \text{si } S[M \oplus K] \bmod 2 = 0 \\ \leq 0 & \text{si } S[M \oplus K] \bmod 2 = 1 \end{cases}$$

ATTAQUE DPA (DIFFERENTIAL POWER ANALYSIS)

Cible de l'attaque : K fragment de la clé secrète (Diviser pour régner)

$$\text{Modèle } \forall M \in [1, N] : W_M(t) = f(X_{M,K})$$

Algorithme AES :

Instant
attaqué

```
AddRoundKey(state,k(0));
for i=1 to 8 do
  → SubBytes(state);
  ShiftRows(state);
  MixColumns(state);
  AddRoundKey(state,k(i));
SubBytes(state);
ShuftRows(state);
AddRoundKey(state, k(9));
```

Exemple de modèle :

$$W_M(t) \begin{cases} \geq 0 & \text{si } S[M \oplus K] \bmod 2 = 0 \\ \leq 0 & \text{si } S[M \oplus K] \bmod 2 = 1 \end{cases}$$

ATTAQUE DPA (DIFFERENTIAL POWER ANALYSIS)

Cible de l'attaque : K fragment de la clé secrète (Diviser pour régner)

$$\text{Modèle } \forall M \in [1, N] : W_M(t) = f(X_{M,K})$$

Algorithme AES :

Instant
attaqué

```
AddRoundKey(state,k(0));  
for i=1 to 8 do  
  → SubBytes(state);  
  ShiftRows(state);  
  MixColumns(state);  
  AddRoundKey(state,k(i));  
SubBytes(state);  
ShuftRows(state);  
AddRoundKey(state, k(9));
```

→ Prédications
 $X_{M,\tilde{K}}$

→ Mesure des traces
 $W_M(t)$

Exemple de modèle :

$$W_M(t) \begin{cases} \geq 0 & \text{si } S[M \oplus K] \bmod 2 = 0 \\ \leq 0 & \text{si } S[M \oplus K] \bmod 2 = 1 \end{cases}$$

ATTAQUE DPA (DIFFERENTIAL POWER ANALYSIS)

Cible de l'attaque : K fragment de la clé secrète (Diviser pour régner)

$$\text{Modèle } \boxed{\forall M \in [1, N] : W_M(t) = f(X_{M,K})}$$

Algorithme AES :

Instant
attaqué

```
AddRoundKey(state,k(0));
for i=1 to 8 do
  → SubBytes(state);
  ShiftRows(state);
  MixColumns(state);
  AddRoundKey(state,k(i));
SubBytes(state);
ShiftRows(state);
AddRoundKey(state, k(9));
```

$$\begin{array}{l} \longrightarrow \begin{pmatrix} X_{1,0} & \cdots & X_{1,\tilde{K}} & \cdots & X_{1,255} \\ X_{2,0} & \cdots & X_{2,\tilde{K}} & \cdots & X_{2,255} \\ \vdots & & & & \vdots \\ X_{N,0} & \cdots & X_{N,\tilde{K}} & \cdots & X_{N,255} \end{pmatrix} \\ \longrightarrow \begin{pmatrix} W_0(t) \\ W_1(t) \\ \vdots \\ W_N(t) \end{pmatrix} \end{array}$$

Exemple de modèle :

$$W_M(t) \begin{cases} \geq 0 & \text{si } S[M \oplus K] \bmod 2 = 0 \\ \leq 0 & \text{si } S[M \oplus K] \bmod 2 = 1 \end{cases}$$

ATTAQUE DPA (DIFFERENTIAL POWER ANALYSIS)

Cible de l'attaque : K fragment de la clé secrète (Diviser pour régner)

$$\text{Modèle } \forall M \in [1, N] : W_M(t) = f(X_{M,K})$$

Algorithme AES :

Instant
attaqué

```
AddRoundKey(state,k(0));
for i=1 to 8 do
  SubBytes(state);
  ShiftRows(state);
  MixColumns(state);
  AddRoundKey(state,k(i));
SubBytes(state);
ShiftRows(state);
AddRoundKey(state, k(9));
```

$$\begin{pmatrix} X_{1,0} & \cdots & X_{1,\tilde{K}} & \cdots & X_{1,255} \\ X_{2,0} & \cdots & X_{2,\tilde{K}} & \cdots & X_{2,255} \\ \vdots & & & & \vdots \\ X_{N,0} & \cdots & X_{N,\tilde{K}} & \cdots & X_{N,255} \end{pmatrix}$$

$$\begin{pmatrix} W_0(t) \\ W_1(t) \\ \vdots \\ W_N(t) \end{pmatrix}$$

Distingueur

Trouve \tilde{K} qui
vérifie le mieux le
modèle : $\forall M$
 $W_M(t) \approx f(X_{M,\tilde{K}})$

Exemple de modèle :

$$W_M(t) \begin{cases} \geq 0 & \text{si } S[M \oplus K] \bmod 2 = 0 \\ \leq 0 & \text{si } S[M \oplus K] \bmod 2 = 1 \end{cases}$$

ATTAQUE CPA (CORRELATION POWER ANALYSIS)

Modèle $\forall M \in [1, N] : W_M(t) = \lambda \cdot \phi(X_{M,K}) + \beta$

Algorithme AES :

Instant
attaqué

```
AddRoundKey(state,k(0));  
for i=1 to 8 do  
  → SubBytes(state);  
  ShiftRows(state);  
  MixColumns(state);  
  AddRoundKey(state,k(i));  
SubBytes(state);  
ShiftRows(state);  
AddRoundKey(state, k(9));
```



Prédictions

$$V_{M,\tilde{K}} = \phi(X_{M,\tilde{K}})$$



Mesure des traces
 $W_M(t)$



Distingueur

Trouve \tilde{K} tel que
 $W_M(t) \approx \lambda \cdot V_{M,\tilde{K}} + \beta$
pour tous M

Un ou plusieurs instants
d'intérêts t

Une valeur
intermédiaire $X_{M,K}$

Une fonction
 ϕ

ATTAQUE CPA (CORRELATION POWER ANALYSIS)

$$\text{Modèle } \forall M \in [1, N] : W_M(t) = \lambda \cdot \phi(X_{M,K}) + \beta$$

Instant
attaqué

Algorithme AES :

```
AddRoundKey(state,k(0));  
for i=1 to 8 do  
  → SubBytes(state);  
  ShiftRows(state);  
  MixColumns(state);  
  AddRoundKey(state,k(i));  
  
SubBytes(state);  
ShiftRows(state);  
AddRoundKey(state, k(9));
```



Prédictions

$$V_{M,\tilde{K}} = \phi(X_{M,\tilde{K}})$$



Mesure des traces
 $W_M(t)$



Corrélation

Trouve \tilde{K} tel que
 $W_M(t) \approx \lambda \cdot V_{M,\tilde{K}} + \beta$
pour tous M

$$\rho(\tilde{K}, t) = \frac{\text{Cov}((V_{i,\tilde{K}})_{1 \leq i \leq N}, W_i(t)_{1 \leq i \leq N})}{\sigma_{(V_{i,\tilde{K}})_{1 \leq i \leq N}} \cdot \sigma_{(W_i(t))_{1 \leq i \leq N}}}$$

(Coefficient de Pearson)

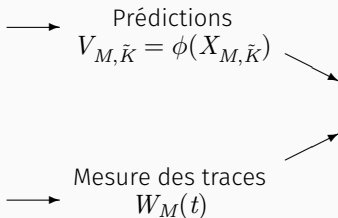
ATTAQUE CPA (CORRELATION POWER ANALYSIS)

$$\text{Modèle } \boxed{\forall M \in [1, N] : W_M(t) = \lambda \cdot \phi(X_{M,K}) + \beta}$$

Instant
attaqué

Algorithme AES :

```
AddRoundKey(state,k(0));  
for i=1 to 8 do  
  → SubBytes(state);  
  ShiftRows(state);  
  MixColumns(state);  
  AddRoundKey(state,k(i));  
SubBytes(state);  
ShiftRows(state);  
AddRoundKey(state, k(9));
```



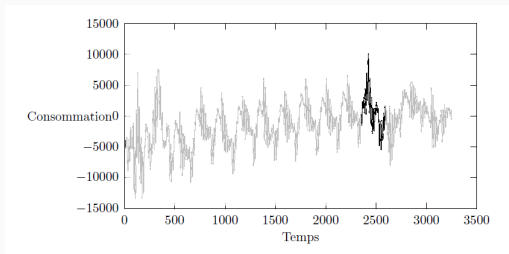
Corrélation

Trouve \tilde{K}
qui maximise
 $\rho(\tilde{K}, t)$

$$\rho(\tilde{K}, t) = \frac{\text{Cov}((V_{i,\tilde{K}})_{1 \leq i \leq N}, W_i(t)_{1 \leq i \leq N})}{\sigma_{(V_{i,\tilde{K}})_{1 \leq i \leq N}} \cdot \sigma_{(W_i(t))_{1 \leq i \leq N}}} \quad (\text{Coefficient de Pearson})$$

ATTAQUES DE DIFFÉRENTES IMPLÉMENTATIONS D'AES

Traces : **DPA Contest V2** (Concours lancé par Télécom Paristech)

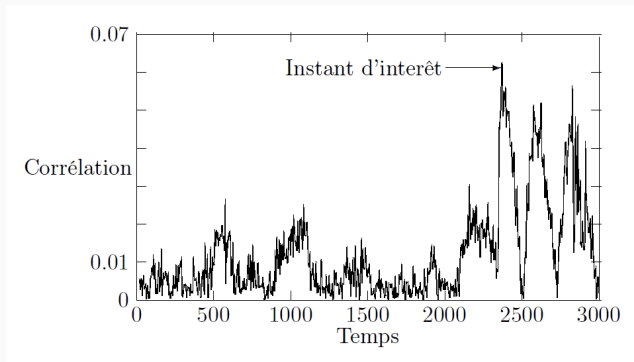


Attaque CPA en **distance de Hamming** au dernier tour.

Instants d'intérêts	Valeur intermédiaire	Fonction ϕ
?	Dernière boîte S	Distance de Hamming

Deux possibilités pour trouver t

- *Apprentissage* : calcul de $\rho(K, t)$ pour tous t



- *Attaque aveugle* : attaque menée à tous les instants du dernier tour et compteur d'occurrences de clés

Résultats obtenus¹ lors de l'attaque du DPA Contest V2

Type d'attaque	Nombre de traces	Octets de clé retrouvés
Avec apprentissage	20000	98%
Aveugle	20000	90%
Aveugle	10000	84%
Aveugle	5000	59%

¹Sans l'amélioration décrite dans le rapport

Éviter que les valeurs intermédiaires ne dépendent directement des valeurs sensibles.

- **Démultiplication** des variables avec ajout d'aléa
- Tout le long de l'algorithme

Éviter que les valeurs intermédiaires ne dépendent directement des valeurs sensibles.

- **Démultiplication** des variables avec ajout d'aléa
- Tout le long de l'algorithme

Masquage booléen d'ordre 1

Un masquage booléen d'ordre 1 est l'opération qui remplace une donnée x appelée *donnée sensible* par 2 données y_0 et y_1 où

$$\begin{cases} y_0 \leftarrow \$ \\ y_1 = x \oplus y_0 \end{cases}$$

Plusieurs implémentations de masquage booléen d'ordre 1 existent mais sont **coûteuses**.

Coût d'une implémentation : taille de code, nombre de cycles de processeurs, nombre d'aléas générés, surface

Comparaison d'efficacité pour l'implémentation de Rivain et Prouff² :

Algorithme	Nombre de cycles	RAM (octets)
AES sans protection	$3 \cdot 10^3$	32
AES masqué	$129 \cdot 10^3$	73

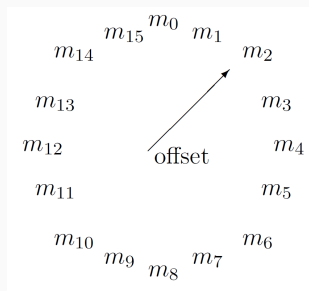
²En langage assembleur : *8051-based 8-bit architecture*

MASQUAGE RSM (ROTATING S-BOX MASKING)

Ensemble **fixe** choisi de 16 masques $(m_i)_{0 \leq i \leq 15}$.

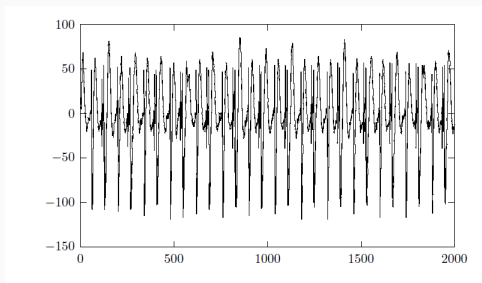
Offset: indice du masque utilisé.

- Tiré aléatoirement en début de chiffrement.
- A chaque fois que l'algorithme a besoin de générer un nouveau masque, l'*offset* est ensuite incrémenté modulo 16.



Concours actuel (lancé en 2015): Implémentation assembleur d'un AES-RSM software amélioré

- Chaque octet de l'état possède son propre offset. 16 barillets
- *Shuffle* : Mélange d'ordre de calcul sur les boîtes S
- 4 fois plus de cycles que pour un AES non protégé ³



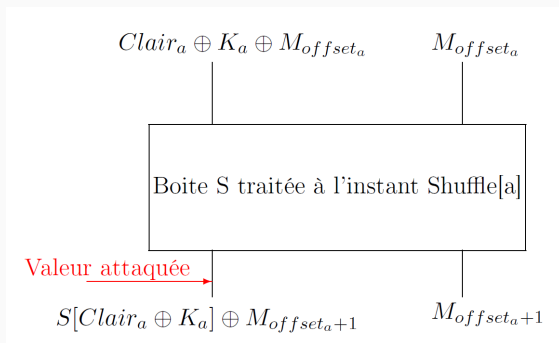
³Pour un processeur Atmega328P

Attaque CPA + attaque auxiliaire

Instants d'intérêts	Valeur intermédiaire	Fonction ϕ
Apprentissage	<i>Mix Columns</i>	Poids de Hamming

Attaque CPA + attaque auxiliaire

Instants d'intérêts	Valeur intermédiaire	Fonction ϕ
Apprentissage	<i>Mix Columns</i>	Poids de Hamming



Attaque *horizontale* : déduit de l'information grâce à une trace

1. **11 incrémentations de l'offset** → Fuite du poids de Hamming
2. On repère le tour pour lequel l'écart est le plus fort entre deux valeurs consécutives.

Exemple :

Tour	0	1	2	3	4	5	6	7	8	9	10
Conso	200	190	254	500	-5	36	59	80	125	165	189

Taux de réussite : 60%

L'attaque CPA + attaque horizontale non profilée : **publiée en juillet sur la plate-forme du DPA Contest**⁴.

Type	Nb de traces pour >80%	Temps/Trace (ms)
Non Profilée (DPA Contest)	188	1000
Record établi en mars	175	3500

Classée 2ème au moment de sa publication

⁴http://www.dpacontest.org/v4/42_hall_of_fame.php

L'attaque CPA + attaque horizontale non profilée : **publiée en juillet sur la plate-forme du DPA Contest**⁴.

Type	Nb de traces pour >80%	Temps/Trace (ms)
Non Profilée (DPA Contest)	188	1000
Record établi en mars	175	3500
Record établi fin juillet	14	60

Classée 2ème au moment de sa publication

⁴http://www.dpacontest.org/v4/42_hall_of_fame.php

AMÉLIORATION DE LA PROTECTION D'UNE IMPLÉMENTATION D'AES

Modification du code assembleur du DPA Contest V4.2 pour le protéger contre l'attaque précédente **en conservant son efficacité.**

Performances obtenues⁵ :

Algorithme	Nombre de cycles	Aléa généré (bits)
V4.2 non modifié	$16 \cdot 10^3$	192
V4.2 modifié	$17 \cdot 10^3$	192

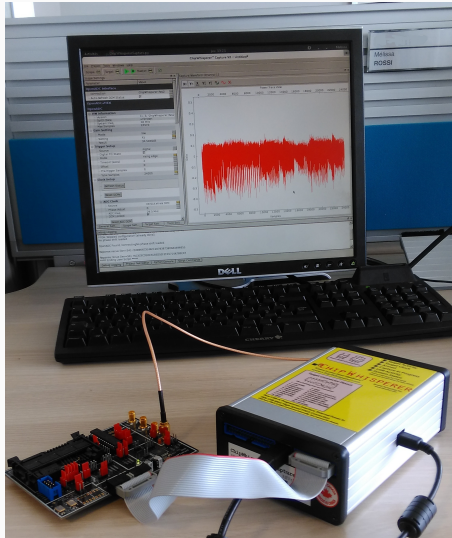
⁵Sur un processeur ATmega328p

Manipulation d'un *offset* → Poids de Hamming vulnérable

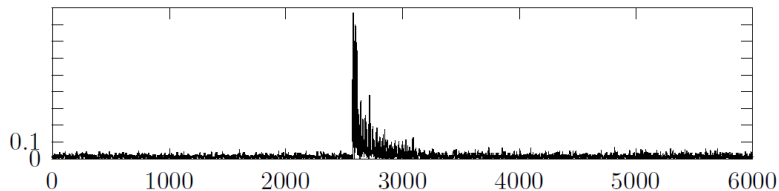
Idée : **Poids constant**

0 → 000111	2 → 010011	9 → 011010	11 → 100110
15 → 001011	14 → 010101	5 → 011100	13 → 101001
6 → 001101	12 → 010110	7 → 100011	4 → 101010
10 → 001110	3 → 011001	1 → 100101	8 → 101100

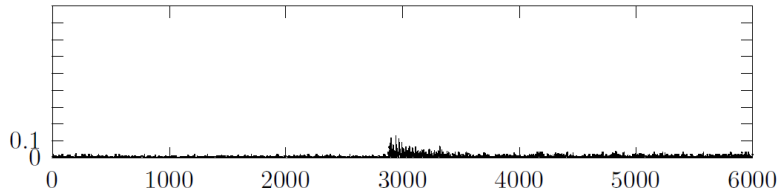
1. Fonction permettant de passer d'un *offset* au suivant sans repasser par les indices.
2. Modification des adresses et valeurs utilisées



APPRENTISSAGE DE L'INCRÉMENTATION D'UN OFFSET (EN 4000 TRACES)



Corrélation en fonction du temps sans la contre mesure



Corrélation en fonction du temps avec la contre mesure

CHES Challenge⁶ : Concours d'attaques (juillet 2016 - août 2016)
organisé pour la conférence CHES 2016

→ Schémas soumis aux attaquants pour tester leur résistance

Version	Nombre d'attaquants	Failles exploitées
Sans modification	4	<i>Offset</i> et <i>Shuffle</i> retrouvés et attaque CPA
Avec modification	3	Attaque par template au chargement de la clé avant le chiffrement

⁶<https://ctf.newae.com/flags/>

CHES Challenge⁶ : Concours d'attaques (juillet 2016 - août 2016)
organisé pour la conférence CHES 2016

→ Schémas soumis aux attaquants pour tester leur résistance

Version	Nombre d'attaquants	Failles exploitées
Sans modification	4	<i>Offset</i> et <i>Shuffle</i> retrouvés et attaque CPA
Avec modification	3	Attaque par template au chargement de la clé avant le chiffrement



Best Student CHES Challenge 2016

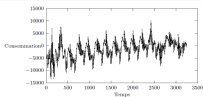
⁶<https://ctf.newae.com/flags/>

- Échange avec les membres du DPA Contest
- Étude de la sécurité d'une autre contre-mesure de masquage parmi celles publiées à CHES 2016⁷.

⁷Par Dahmun Goudarzi et Matthieu Rivain

DPA Contest

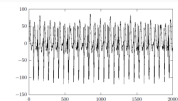
DPA Contest V2



CPA d'ordre 1

DPA Contest V4.2

RSM et Shuffle



CPA d'ordre 1 avec attaque horizontale

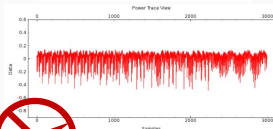
Publication de l'attaque sur la plateforme du DPA Contest

CHES Challenge

DPA Contest V4.2 modifié

Soumission aux attaquants

Mesures avec ChipWhisperer



Best Student prize

CPA d'ordre 1 avec attaque horizontale

?

$$\forall i X_i = \lambda \cdot Y_i + \beta \Leftrightarrow X_i - \bar{X} = \lambda \cdot (Y_i - \bar{Y})$$

Si on considère les vecteurs $\mathbf{U} = X - \bar{X}$ et $\mathbf{V} = Y - \bar{Y}$

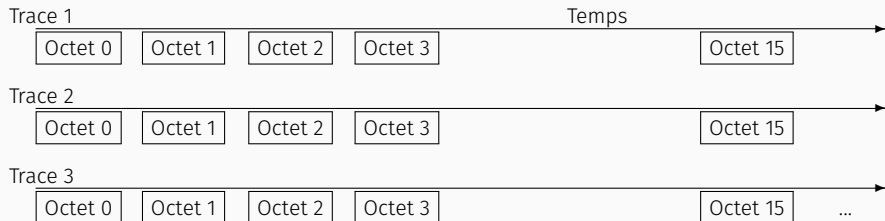
La linéarité se mesure avec le cosinus de l'angle formé par les deux vecteurs. Plus ce cosinus se rapproche de +1 ou -1, plus la linéarité est vérifiée.

$$\begin{aligned} \cos(\mathbf{U}, \mathbf{V}) &= \frac{(\mathbf{U}|\mathbf{V})}{\|\mathbf{U}\| \cdot \|\mathbf{V}\|} = \frac{\sum(X_i - \bar{X}) \cdot (Y_i - \bar{Y})}{\sum(X_i - \bar{X})^2 \cdot \sum(Y_i - \bar{Y})^2} \\ &= \frac{\text{cov}(X, Y)}{\sigma_X \cdot \sigma_Y} = \rho(X, Y) \end{aligned}$$

Shuffle : Randomisation de l'ordre de traitement de l'état pour une opération sensible donnée.

- Possible lorsque les octets de l'état sont traités d'une manière software les uns après les autres.

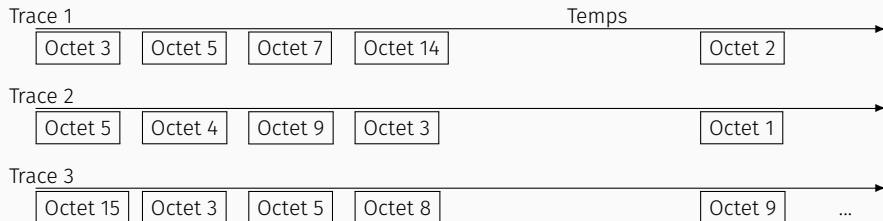
Exemple sans shuffle :



Shuffle : Randomisation de l'ordre de traitement de l'état pour une opération sensible donnée.

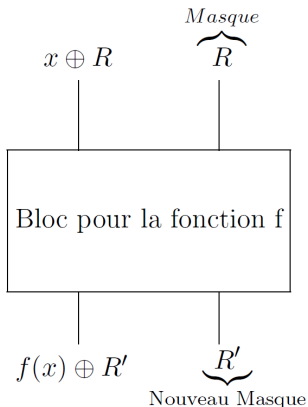
- Possible lorsque les octets de l'état sont traités d'une manière software les uns après les autres.

Exemple avec shuffle :



Dédoublément de la valeur d'entrée x : $x \oplus R$ (le masqué) et R (le masque).

Par exemple, pour un bloc f (Boîte S , *Shift-Rows*, *Mix Columns*) :



L'intérieur d'un bloc **ne doit pas manipuler le \oplus des deux entrées ni celui des deux sorties.**

- Opérations **linéaires** pour le \oplus : application au masqué et au masque en parallèle.
- Opérations **non linéaires**: plusieurs implémentations
Exemple "look-up tables" pour boîtes S: pré-calcul des 256 S-box $S_i^*(\cdot) = S(\cdot \oplus i)$.
L'opération consiste à définir un nouveau masque R' et à prendre $S_{x \oplus R}^*(R) \oplus R'$.

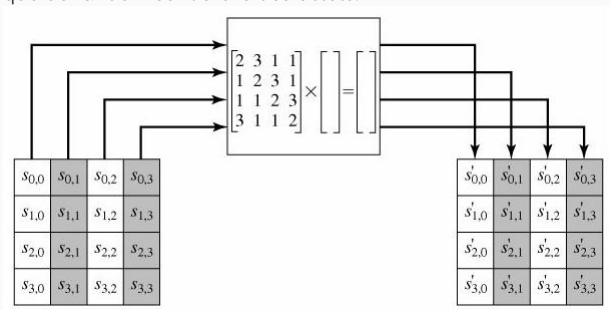
Une **attaque profilée** ou **attaque par template** : phase d'apprentissage sur un échantillon de courbes dont on connaît les *offsets* et *shuffle*.

- Template d'apprentissage qui stocke des spectres de Fourier moyens pour chaque tour et pour chaque octet.

Cette méthode a permis de retrouver l'*offset* avec **99% de réussite**.

Protection des autres étapes du premier tour

- *Mix Columns* modifié pour traiter les rangs de manière aléatoire. Moins coûteux que de randomiser l'ordre des octets.



- Les *Add Round Keys* et *Add Round Masks* randomisés avec le Shuffle

EXEMPLES D'ARCHITECTURES DE CARTES

Data Memory

32 Registers	0x0000 - 0x001F
64 I/O Registers	0x0020 - 0x005F
160 Ext I/O Reg.	0x0060 - 0x00FF
Internal SRAM (512/1024/1024/2048 x 8)	0x0100 0x04FF/0x04FF/0x00FF/0x08FF

Byte Address

ATxmega128D3

0	I/O Registers (4KB)
FFF	
1000	EEPROM (2K)
17FF	
	RESERVED
2000	Internal SRAM (8K)
3FFF	